

Steuerung an Kernen und Nucleonen

(1)

Ziel: Verständnis der Kernbausteine

zur Erinnerung:

$$\text{Vierervektor } x = (x_0, x_1, x_2, x_3) = (ct, \vec{x})$$

$$P = (P_0, P_1, P_2, P_3) = (E/c, \vec{P})$$

Skalarprodukt zweier Vierervektoren a, b

$$a \cdot b = a_0 b_0 - \vec{a} \cdot \vec{b} \quad (\text{Lorentz-Invariant})$$

Gilt auch für Quadrat des Impulses p

$$p^2 = \frac{E^2}{c^2} - \vec{P}^2 \quad (1)$$

Quadrat ist gleich der Ruhemasse $m^2 c^2$, weil sich im Bezugssystem findet in dem das Teilchen ruht, d.h. $\vec{P} = 0$ und $E = mc^2$

$$\Rightarrow \text{Invariante Masse } m = \frac{\sqrt{p^2}}{c} \quad (2)$$

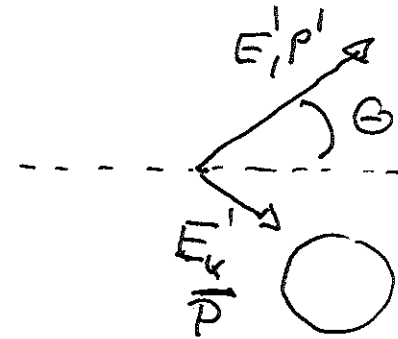
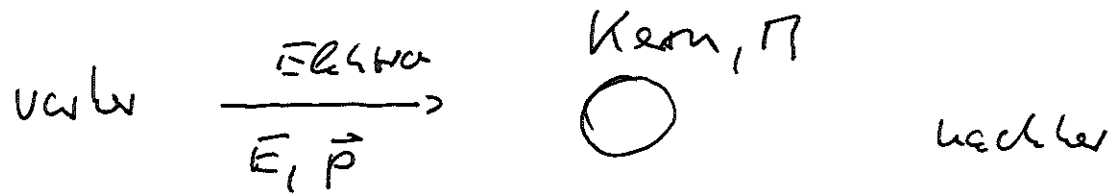
(1) + (2) \Rightarrow ergibt bekannte Energie-Impuls-Beziehung
$$E^2 - \vec{P}^2 c^2 = m^2 c^4$$

$$f \bar{v} E \gg mc^2 \Rightarrow E \approx |\vec{p}| c$$

(2)

für Elektronen von $z_{\text{min}} \approx 100 \text{ keV}$ bereits gültig.

Kinematik elastischer Streuung von e^- an N



Erhaltung des Viererimpulses

$$p + P = p' + P'$$

quadrieren $p^2 + 2pP + P^2 = p'^2 + 2p'P' + P'^2$

elastische Streuung

Massen m_e, m_N der Stoßpartner
bleiben unverändert:

$$\Rightarrow p^2 = p'^2 = m_e^2 c^2 \quad \text{und} \quad P^2 = P'^2 = m_N^2 c^2$$

$$\Rightarrow pP = p'P'$$

Rückgestraute Teilchen wird (üblicherweise) nicht nachgewiesen,
sondern nur das gestreute Elektron

$$p \cdot P = p' (p + P - p') = p'p + p'P - p'^2 \quad (3)$$

$(= m_e^2 c^2)$

im Laborsystem zu dem Teilchen mit Viererimpuls P
vor Stoß in Ruhe war:

$$p = (E/c, \vec{p}) \quad , \quad p' = (E'/c, \vec{p}')$$

$$P = (m_e c, 0) \quad ; \quad P' = (E_p'/c, P')$$

$$E m_e c^2 = E' E - \vec{p} \cdot \vec{p}' c^2 + E' m_e c^2 - m_e^2 c^4$$

bei hoher Energie kann $m_e^2 c^4$ vernachlässigt
und $E \approx |\vec{p}| c$

$$\Rightarrow E m_e c^2 = E' E (1 - \cos \theta) + \underbrace{E' m_e c^2}_{\text{Messung!}}$$

$$\boxed{E' = \frac{E}{1 + \frac{E}{m_e c^2} (1 - \cos \theta)}} \quad (*)$$

θ : Streuwinkel

$E - E'$: Rückstoß, der auf Target übertragen wird

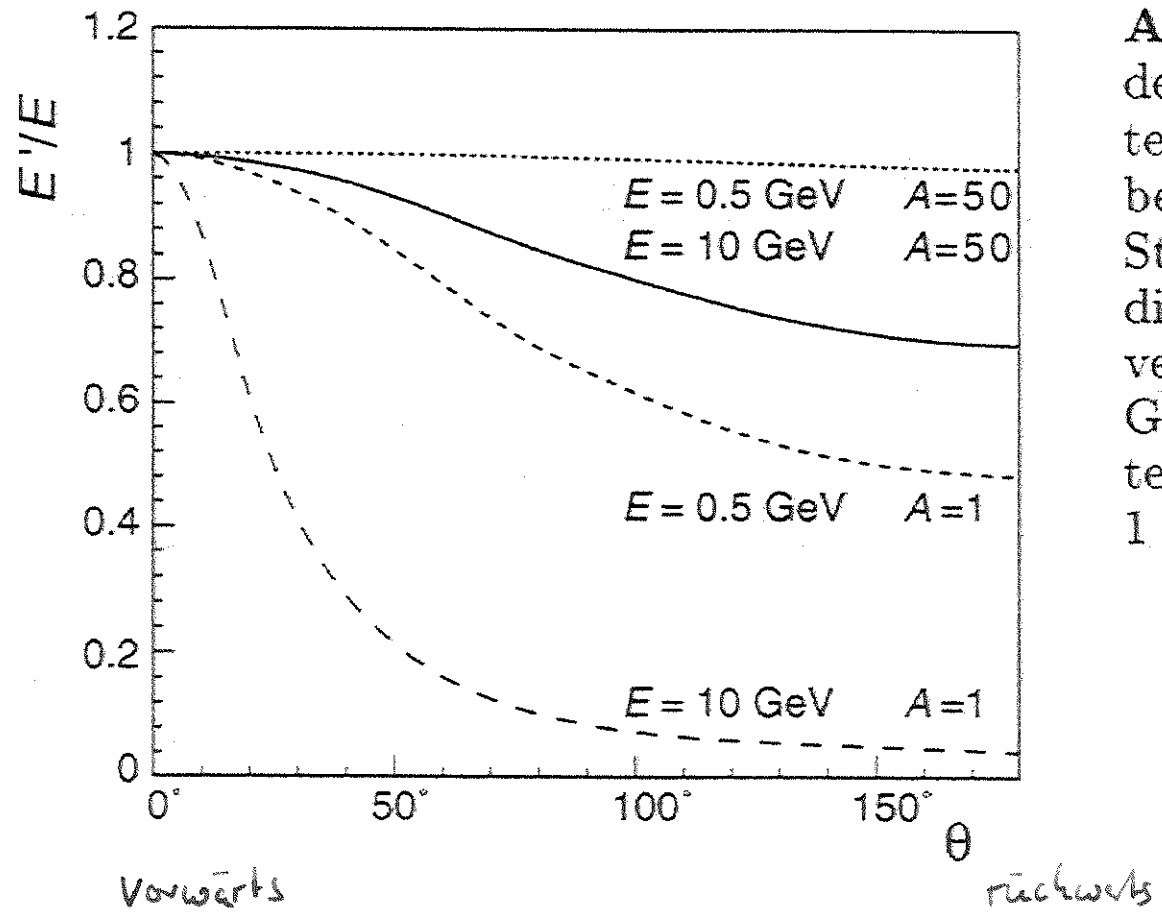


Abb. 5.2. Winkelabhängigkeit der auf die Strahlenergie normierten Elektronstreuenergie E'/E bei elastischer Elektron-Kern-Streuung. Die Kurven zeigen diesen Zusammenhang für zwei verschiedene Strahlenergien (0.5 GeV und 10 GeV) und zwei unterschiedlich schwere Kerne ($A = 1$ und $A = 50$).

- für elastische Streuung besteht eindeutige
Zerlegung zwischen Streuwinkel Θ und der Energie E'
des gestreuten Elektrons
- Bei inelastischer Streuung (Anregung von inneren Freiheitsgraden)
ist (*) nicht erfüllt
- Winkelabhängigkeit wird durch $(1 - \cos \Theta)$ beschrieben
($= 2 \sin^2 \frac{\Theta}{2}$)

Rutherford WQ

- WQ unter Vernachlässigung des Spins
- räumliche Ausdehnung des Streuzentrums wird vernachlässigt (δ-Funktion)
- Atomkern schwer und Energie des Projektils nicht zu groß
=> Vernachlässigung des Rückstoßes

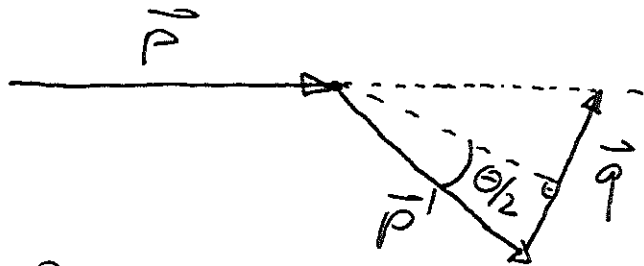
Werte ist klassisch vorzeichen

ebenso mit nicht-rel. QM mit Hilfe Fermi's Goldener Regel

$$\left(\frac{d\sigma}{d\Omega}\right)_{\text{Rutherford}} = \frac{4 z^2 \alpha^2 (tc)^2 E'^2}{|\vec{q}|^4} \quad (5)$$

$$\alpha = \frac{e^2}{4\pi tc} \approx \frac{1}{137}$$

Vernachlässigung des Rückstoßes: $E = E'$, $|\vec{p}| = |\vec{p}'|$

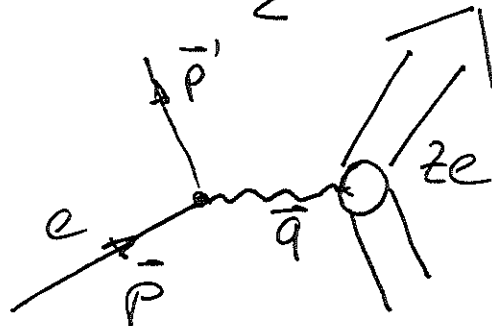


3-Impuls übertrag \vec{q}
 $|\vec{q}| = 2|\vec{p}| \cdot \sin \frac{\theta}{2}$

mit $E \approx |\vec{p}|c$

$$\Rightarrow \left(\frac{d\sigma}{d\Omega}\right)_{\text{Rutherford}} = \frac{z^2 \alpha^2 (tc)^2}{4 E^2 \sin^4 \frac{\theta}{2}}$$

Feldtheoretische Betrachtung:



$E \Pi$ WW zwischen Elektron und Ladungsvertrag (6)
 Ze durch Austausch eines Photons (= Feldquant
 des EM WW). Das Photon koppelt an die Ladung
 der beiden Teilchen, was zu einem Betrag $Ze \cdot e$
 im Übergangsmatrixelement $u \bar{v} Q$ zu $(Ze e)^2$
 3-Moments \vec{q} ist der Impuls, der das Photon überträgt.

Reduzierte de-Broglie Wellenlänge des Photons ist

$$\lambda = \frac{h}{|\vec{q}|} = \frac{h}{|\vec{p}|} \cdot \frac{1}{2.5 \text{ nm} \frac{e}{2}}$$

Wenn $\lambda \gg$ gegenüber Ausdehnung des Target teiles
 \rightarrow Punktformig

$$\lambda \approx \frac{h c 2\pi}{E} \Rightarrow E = \frac{h c 2\pi}{\lambda} = \frac{197 \text{ MeV fm} \cdot 2\pi}{1 \text{ fm}} \approx 1 \text{ GeV}$$

i. Allgmeine: ausgetauschte Teilchen tragen zu Übergangsmatrixelement
 ein Propagator-Term bei $\frac{1}{Q^2 + m^2 c^2}$

Q^2 : Quadrat des übertragenen Viererimpuls

(7)

π : Masse des Austauschteilchens

mit (EN) Photon $\pi = 0$

nicht relativist. Näherung $\frac{1}{Q^2} \rightarrow \frac{1}{q^2}$

EN UU: charakteristischer rascher Abfall des UU mit $\frac{1}{|q|^4}$

Mott-WQ

bisher wurde Spin von Elektronen und Target nicht berücksichtigt.

Mott-Streuung berücksichtigt Elektronen-Spin

$$\left(\frac{d\sigma}{d\Omega}\right)^* = \left(\frac{d\sigma}{d\Omega}\right)_{\text{Rutherford}} \cdot \left(1 - \beta^2 \sin^2 \frac{\Theta}{2}\right)$$

(*) : Rückstoß noch vernachlässigt

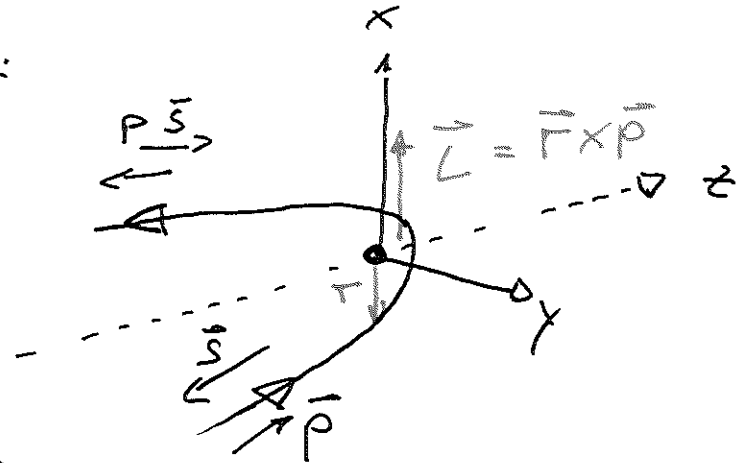
$$\beta = \frac{v}{c}$$

$$\text{für } \beta \rightarrow 1 \quad : \quad \left(\frac{d\sigma}{d\Omega}\right)_{\text{Mott}}^* = \left(\frac{d\sigma}{d\Omega}\right)_{\text{Rutherford}} \cdot \cos^2 \frac{\Theta}{2}$$

$$\text{für } \Theta = 180^\circ \text{ (Rückstreuung)} : \cos^2 \frac{180}{2} = 0$$

(8)

Plausibilitätsüberlegung:
 spinloses Target



Helizität $h = \frac{\vec{s} \cdot \vec{p}}{|\vec{s}| \cdot |\vec{p}|}$ bleibt für $\beta \rightarrow 1$ erhalten

D.h. bei Streuung um 180° muß die Helizität (Spinprojektion auf die z-Achse) das Vorzeichen ändern. Nicht möglich bei spinlosem Target, da Gesamtdrehimpuls des Systems erhalten bleibt.

\Rightarrow Streuung nach 180° ist verboten aufgrund der Drehimpuls-Erhaltung!

Formfaktoren des Kerns

9

Streuerperimente an Kernen (oder Nucleonen) zeigen, dass experimentell gemessene WQ nur im Grenzfall ($|\vec{q}| \rightarrow 0$ dem Rott-WQ entspricht. Bei größeren $|\vec{q}|$ sind experimentelle Messungen (WQ) systematisch kleiner.

Grund: räumliche Ausdehnung des Kerns bzw. Nucleonen wird "sichtbar" weil \vec{q} kleiner wird. WQ nur noch mit einem Teil der Ladung

$$\left(\frac{d\sigma}{d\Omega}\right)_{\text{exp}} = \left(\frac{d\sigma}{d\Omega}\right)_{\text{Rott}} \cdot \left|F(\vec{q}^2)\right|^2$$

$F(\vec{q}^2)$: Formfaktor

= Fouriertransformierte der normierten Ladungsverteilung

Verteilung (Skizze):

Streuung an Born'scher Näherung

(10)

$$\psi_i = \frac{1}{\sqrt{V}} e^{i\vec{p} \cdot \vec{x} / \hbar} \quad \text{einlaufende ebene Welle}$$

$$\psi_f = \frac{1}{\sqrt{V}} e^{i\vec{p}' \cdot \vec{x} / \hbar} \quad \text{auslaufende ebene Welle}$$

mit Fermis Goldener Regel : Reaktionsrate W

$$W = \frac{2\pi}{\hbar} |\langle \psi_f | H_{int} | \psi_i \rangle|^2 \cdot \frac{dn}{dE_f}$$

$$\text{mit } dn(|\vec{p}'|) = \frac{4\pi |\vec{p}'|^2 d|\vec{p}'| \cdot V}{(2\pi\hbar)^3}$$

für große Elektronenenergie $|\vec{p}'| \approx E'/c$

$$\frac{d\sigma}{d\Omega} = \frac{V^2 E'^2}{(2\pi)^2 (\hbar c)^4} |\langle \psi_f | H_{int} | \psi_i \rangle|^2$$

W Operator einer Ladung e mit elektr. Potential ϕ
 $H_{int} = e\phi$

$$\langle \psi_f | H_{\text{out}} | \psi_i \rangle = \frac{e}{v} \int e^{-i p' x / \hbar} \phi(x) e^{i p x / \hbar} d^3 x \quad (11)$$

mit $q = p - p'$.

$$= \frac{e}{v} \int \phi(x) e^{i q x / \hbar} d^3 x$$